



## تحلیل تئوری اثر زمان کاویتاسیون بر رفتار الاستوپلاستیک ورق دایروی مستقر زیر آب تحت بار انفجاری

حبیب رمضان نژاد آزاربونی<sup>1</sup>، منصور درویشه<sup>2\*</sup>، ابوالفضل درویشه<sup>3</sup>، رضا انصاری<sup>4</sup>

1- دانشجوی دکترا، مهندسی مکانیک، دانشگاه گیلان، رشت

2- استاد، مهندسی مکانیک، دانشگاه گیلان، رشت

3- استاد، مهندسی مکانیک، دانشگاه آزاد اسلامی، واحد بندرانزلی، بندرانزلی

4- دانشیار، مهندسی مکانیک، دانشگاه گیلان، رشت

\*رشت، 41635-3756، [darvizeh@guilan.ac.ir](mailto:darvizeh@guilan.ac.ir)

### چکیده

### اطلاعات مقاله

مقاله پژوهشی کامل  
دریافت: 28 خرداد 1394  
پذیرش: 28 مرداد 1394  
ارائه در سایت: 19 مهر 1394  
کلید واژگان:

بارگذاری انفجاری  
ورق دایروی  
زمان کاویتاسیون  
زمان تسلیم  
رفتار الاستوپلاستیک

در این مقاله رفتار الاستوپلاستیک یک ورق دایروی ایزوتروپیک از جنس مس، فولاد و آلومینیم مستقر در زیر آب با شرط مرزی گیردار تحت بار انفجاری مورد مطالعه قرار گرفته است. کاویتاسیون از پدیده‌های است که ممکن است در فرایند شکل‌دهی انفجاری ورق‌ها در زیر آب رخ دهد. با صفر شدن فشار کل ناشی از انفجار در زمان کاویتاسیون بر روی ورق، معادلات حاکم بر حرکت ورق در زمان قبل و بعد از زمان کاویتاسیون متفاوت خواهند بود. به این علت در بررسی رفتار یک جسم تحت بارگذاری انفجاری زیر آب زمان کاویتاسیون از اهمیت بالایی برخوردار است. با استفاده از روش انرژی و اصل هامیلتون معادلات حاکم بر حرکت ورق دایروی استخراج شده و سپس با حل دقیق ارتعاشات آزاد ورق شکل مدهای ورق محاسبه شده است. از این شکل مدها برای حل تحلیلی پاسخ اجباری ورق استفاده شده است. در ادامه با به دست آوردن سرعت ورق در زمان کاویتاسیون و محاسبه تنش ایجاد شده و مقایسه آن با تنش تسلیم، امکان تشخیص زمان بروز کاویتاسیون در محدوده‌ی الاستیک یا پلاستیک فراهم می‌شود. با مشخص شدن زمان کاویتاسیون در محدوده‌ی الاستیک یا پلاستیک روابط میدان جابجایی و سرعت تعیین و مقادیر آن‌ها در کل دوره بارگذاری محاسبه می‌شود. نتایج نشان می‌دهد که زمان کاویتاسیون از مرتبه میکروثانیه بوده و با توجه به مقادیر خرج انفجاری و محل استقرار این زمان در محدوده‌ی الاستیک یا پلاستیک رخ می‌دهد.

## Analytical theory of cavitation time effect on elastoplastic response of circular underwater plate subjected to explosive loading

Habib Ramezannezhad Azarboni<sup>1</sup>, Mansoor Darvizeh<sup>1\*</sup>, Aboolfazl Darvizeh<sup>2</sup>, Reza Ansari<sup>1</sup>

1-Department of Mechanical Engineering, Guilan University, Rasht, Iran.

2-Department of Mechanical Engineering, Bandar Anzali branch, Islamic Azad University, Bandar Anzali, Iran.

\*P.O.B.41635-3756 Rasht, Iran, [darvizeh@guilan.ac.ir](mailto:darvizeh@guilan.ac.ir)

### ARTICLE INFORMATION

Original Research Paper  
Received 18 June 2015  
Accepted 19 August 2015  
Available Online 11 October 2015

**Keywords:**  
Explosive loading  
Circular plate  
Cavitation time  
Yield time  
Elastoplastic response

### ABSTRACT

In this paper, the elastoplastic response of copper, steel and aluminum circular plates with clamped boundary conditions subjected to underwater explosion loading is investigated. Cavitation is a phenomenon that can be occurred for plates in the process of underwater explosive forming. The total pressure of the explosion becomes zero at the cavitation time, so that the governing equations of motion time will be different before and after the cavitation. As a result, in terms of analysis and design, the cavitation time is significant in studying the behavior of a circular plate at underwater explosive loading. By applying the energy method and based on Hamilton principle and variation method the equations of motion of an underwater circular plate subjected to explosive loading are derived. Then, in order to obtain the forced response of the circular plate, the exact free vibration solution is derived to calculate the mode shapes. Then, the velocity and generated stress of plate during cavitation time are calculated and compared with the yield stress plates. Using this method, one can distinguish the occurrence of cavitation with in the elastic or plastic regimes. By recognizing the time of cavitation in the range of elastic or plastic, the displacement and velocity field of plate are determined in duration of explosive loading. Results show that the cavitation time is on the order of microsecond. Depending on amount of charge mass and stand-off, the cavitation time may be occurred in elastic or plastic regime.

### 1- مقدمه

تحلیل اثرات بار دینامیکی لحظه‌ای در زیر آب بر روی سازه‌های مختلف و بررسی مکانیسم تغییر شکل آن‌ها همواره از مسائل مورد توجه دانشمندان و محققین بوده است. یکی از این نوع بارگذاری‌های دینامیکی بارگذاری

Please cite this article using:

H. Ramezannezhad Azarboni, M. Darvizeh, A. Darvizeh, R. Ansari, Analytical theory of cavitation time effect on elastoplastic response of circular underwater plate subjected to explosive loading, *Modares Mechanical Engineering*, Vol. 15, No. 11, pp. 88-96, 2015 (In Persian)

برای ارجاع به این مقاله از عبارت ذیل استفاده نمایید:

ورق‌های دایروی از جنس فولاد نرم، مس و آلومینیم تحت بارگذاری ضربه‌ای را مورد بررسی قرار دادند [7-8]. در این تحقیقات دو مدل تحت عنوان مدل استاتیکی و دینامیکی بیان شده که در مدل استاتیکی متغیر نرخ کرنش متوسط به عنوان یک پارامتر در نظر گرفته نشده در حالی که در مدل دینامیکی این متغیر در نظر گرفته شده است. نتایج حاصل از این تحقیق در پیش‌بینی تغییر شکل عرضی ورق با نتایج تجربی تطابق بسیار بالایی داشته است [9,10].

رمضان‌نژاد و همکارانش در سال 2014 به استخراج زمان کاویتاسیون ورق مستطیلی تحت بار انفجاری پرداختند. در این تحقیق اثرات جرم خرج انفجاری، فاصله استقرار خرج انفجاری تا نمونه مورد آزمایش، ابعاد هندسی ورق مستطیلی از جنس‌های مس و فولاد بر زمان کاویتاسیون مورد بررسی قرار گرفته است [11]. زمانی و گودرزی در سال 2014 به بررسی تجربی و عددی ماکزیمم خیز ورق‌های دایروی تحت اثر موج شوک یکنواخت و غیریکنواخت ناشی از انفجار پرداختند. راستی آزمایی نتایج تجربی با مدل شبیه‌سازی شده در نرم‌افزار ال-اس داینا و نتایج محققان دیگر صورت گرفته است [12].

در این مقاله پاسخ دینامیکی الاستوپلاستیک یک ورق داروی ایزوتروپیک با شرط مرزی گیردار تحت بار انفجاری مستقر در زیر آب با در نظر گرفتن زمان کاویتاسیون به صورت تحلیلی مورد بررسی قرار گرفته است. خلاءزایی یا کاویتاسیون از جمله پدیده‌های مهمی است که در زمان بارگذاری دینامیکی ممکن است در این فرایند بروز دهد. با توجه به اینکه در زمان کاویتاسیون فشار کل ناشی از انفجار صفر می‌شود معادلات حاکم بر رفتار دینامیکی ورق در زمان قبل و بعد از کاویتاسیون متفاوت خواهد بود. به این علت استخراج این زمان به منظور بررسی دقیق رفتار دینامیکی ورق تحت بارگذاری انفجاری زیر آب اهمیت بالایی برخوردار است. برای محاسبه‌ی زمان کاویتاسیون ابتدا معادلات حاکم بر حرکت ورق دایروی استخراج شده و با حل این معادلات تابع جابجایی و سرعت ورق به دست آمد. با به دست آوردن سرعت ورق و استفاده از رابطه‌ی فشار کل زمان کاویتاسیون به دست می‌آید. همچنین با محاسبه تنش ایجاد شده در هر بازه زمانی و استفاده از معیار تسلیم وون میز زمان تسلیم نیز محاسبه و به منظور تعیین وقوع کاویتاسیون در محدوده الاستیک یا پلاستیک با زمان کاویتاسیون مقایسه شده است. در این تحلیل مدل رفتار ماده به صورت الاستیک - کارسختی خطی در نظر گرفته شده است. در ادامه اثرات جرم خرج انفجاری و جنس ورق بر میدان سرعت و تغییر شکل ورق در محدوده الاستوپلاستیک مورد بررسی قرار گرفته است. این روش برای نخستین بار بر روی ورق دایروی مستقر در زیر آب تحت بار انفجاری انجام شده که در آن میدان سرعت و جابجایی برای محدوده الاستیک و پلاستیک به صورت تحلیلی استخراج شده است. نتایج به دست آمده نشان می‌دهد که مقدار خرج انفجاری و جنس ورق مورد استفاده بر بروز زمان کاویتاسیون در محدوده الاستیک یا پلاستیک مؤثر بوده و در فرایند شکل‌دهی انفجاری در زیر آب میدان جابجایی و سرعت ورق باید با در نظر گرفتن اثر کاویتاسیون محاسبه شود.

## 2- استخراج معادلات حرکت

فرضیات اصلی نظریه‌ی خیز کوچک خمش یا آنچه نظریه‌ی کلاسیک نامیده می‌شود برای ورق نازک، الاستیک، همگن و همسانگرد که مبتنی بر هندسه‌ی تغییر شکل می‌باشد به این صورت است که 1- ضخامت ورق در مقایسه با دیگر ابعاد کوچک است. 2- سطح میانی ورق بعد از تغییر شکل خمشی سطح

انفجاری است که همواره با تغییر شکل‌های بزرگ، نرخ‌های کرنش بالا، تحلیل‌های مادی و هندسی غیرخطی و برهمکنش سیال - سازه همراه است. اهمیت اصلی تحلیل رفتار دینامیکی ورق زیر آب تحت بار انفجاری بروز پدیده‌ای تحت عنوان کاویتاسیون یا خلاءزایی بوده که در زمان ایجاد این پدیده فشار کل وارد بر ورق به دلیل ایجاد حباب صفر می‌شود. بنابراین معادلات حاکم بر ورق در زمان قبل و بعد از این پدیده متفاوت خواهد بود. تحقیقات تجربی و عددی زیادی در زمینه بررسی تغییر شکل ورق مستقر در آب تحت بار انفجاری توسط محققین انجام شده است. کاویتاسیون به عنوان فرایند تشکیل فاز بخار یک مایع زمانی که تحت فشار کاهشی در یک دمای محیط تقریباً ثابت تعریف می‌شود. علت اصلی سایش در سیستم‌هایی که برهمکنش سازه-سیال در آن‌ها وجود دارد کاویتاسیون است. به این صورت که با تشکیل حباب در زمان کاویتاسیون و ورود آن‌ها به مناطق پر فشار باعث ایجاد تنش در سطوح فلزی می‌شوند که نتیجه آن اثر پدیده خستگی در سطح فلزات و تشکیل حفره می‌باشد. بنابراین در طراحی سازه‌هایی که با سیال برهمکنش دارند در نظر گرفتن اثر کاویتاسیون از اهمیت بالایی برخوردار است. عامل حرکت تیغه پروانه و ملخ سیال‌هایی مانند هوا و آب هستند. با جریان شتاب‌دار سیال از روی تیغه‌ها نواحی کم فشار شکل به وجود می‌آید. هر چه سیال سریعتر گذر کند فشار بیشتر کاهش می‌یابد تا به فشار بخار مایع برسد و حباب‌های کوچکی تشکیل شوند که با ترکیدن آن‌ها روی سطح مکش ایجاد می‌کنند. در شکل‌دهی انفجاری زیر آب نیز امکان وقوع کاویتاسیون وجود داشته که در طی آن با ایجاد حباب شکل نهایی سازه مطلوب تحت تأثیر قرار گرفته و پروفیل مورد نظر تولید نخواهد شد. بنابراین در این فرایند زمان کاویتاسیون از اهمیت بسیار بالایی برخوردار است. مطالعه بر روی تأثیر بارگذاری انفجاری بر روی تغییر شکل ورق دایروی با شرایط مرزی گیردار صرف‌نظر از نرخ کرنش توسط هودسن در سال 1951 انجام شد [1]. جونز و همکارانش تغییر شکل دینامیکی ورق‌های دایره‌ای در محدوده‌ی خیزهایی که نیروهای غشایی و ممان‌های خمشی هم‌زمان بر رفتار ورق حاکم هستند، برای اولین بار در سال 1968 مورد بررسی و تحلیل قرار داد. این تحلیل تغییر شکل‌های نهایی را که توسط فلورنس در سال 1966 ثبت شده بود، به‌طور قابل ملاحظه‌ای بهتر از مدل ونگ پیش‌بینی کرد [2]. با بهبود مدل دینامیکی ورق در سال 1970 توسط ویرزبایکی و فلورنس [3] و در نظر گرفتن نرخ کرنش رفتار ورق دایروی مورد بررسی قرار گرفت. مدل ارائه شده سازگاری بسیار خوبی با نتایج تجربی حاصل از شکل‌دهی انفجاری ورق‌های دایروی با شرایط مرزی گیردار دارد. در سال 1971، باترا و دویی رفتار ورق‌های دایره‌ای را در محدوده‌ای که اثرات نیروهای غشایی و ممان‌های خمشی، هر دو حائز اهمیت هستند، مورد مطالعه قرارداد. در این بررسی از اثر نرخ کرنش صرف‌نظر شد ولی حرکت افقی ورق در تحلیل وارد شد [4]. نوریکی و مارتین در مدل ارائه‌شده برای ورق‌های دایروی و مستطیلی جابجایی‌های قائم و جابجایی‌های افقی را باهم در نظر گرفت. با این نگرش نسبت به مدل کردن رفتار ورق‌های دایروی و مستطیلی توزیع کرنش محیطی نیز حاصل شد. این پیش‌بینی‌ها حاکی از به وجود آمدن کرنش‌های بزرگ در قسمت مرکزی و کرنش‌های کوچک در دیگر نواحی است که مطابقت کاملی با داده‌های آزمایشگاهی دارد [5]. در سال 2009 راجدران به تحلیل عددی رفتار دینامیکی ورق دایروی و مستطیلی تحت بار انفجاری زیر آب پرداخت. شبیه‌سازی انجام شده بر اساس نتایج تجربی صورت گرفت [6].

درویزه و همکارانش در سال‌های 2012 و 2014 رفتار پلاستیک

محل قرارگیری خرج انفجاری است. ثابت  $\beta, \alpha, B, A$  برای خرج های انفجاری مختلف تعیین شده است [15].

#### 4- حل معادله ی ورق تحت بار انفجاری

با توجه به روابط بیان شده می توان معادله دیفرانسیل حاکم بر حرکت ورق تحت بار لحظه ای ناشی از انفجار را به صورت رابطه ی (9) استخراج نمود [14].

$$D\Delta^4 w = 2P_m \cdot e^{-\frac{t}{\theta}} - \rho_0 C_0 \frac{\partial w}{\partial t} - \rho_p h \frac{\partial^2 w}{\partial t^2} \quad (9)$$

که در رابطه ی (9)  $\rho_0$  و  $\rho_p$  به ترتیب چگالی ورق و چگالی سیال است. برای شروع حل ابتدا باید مد تغییر شکل را برای ورق دایروی تحت شرایط مرزی حاکم بر آن به دست آورد.

#### 4-1- حل همگن معادله ی ورق دایروی

ورق الاستیک، همگن و ایزوتروپیک را با ضخامت  $h$ ، مدول یانگ  $E$ ، ضریب پواسون  $\nu$  و چگالی  $\rho$  در نظر بگیرید. برای استخراج مدهای تغییر شکل تابع جابجایی به صورت  $w(r, t) = T(t)R(r)$  در نظر گرفته می شود. با جایگذاری آن در معادله همگن رابطه ی (10) نتیجه می شود.

$$T(t)D\Delta^4 R(r) + \rho_0 C_0 \dot{T}(t)R(r) + \gamma h \ddot{T}(t)R(r) = 0 \quad (10)$$

با تقسیم کلیه ی جملات بر  $T(t)R(r)$  می توان به معادلات زیر رسید.

$$\frac{D\Delta^4 R}{R} + \rho_0 C_0 \frac{\dot{T}}{T} + \gamma h \frac{\ddot{T}}{T} = 0$$

$$\frac{\Delta^4 R}{R} = \frac{-\rho_0 C_0 \dot{T}}{D} - \frac{\gamma h \ddot{T}}{D} = \lambda^4 \quad (11)$$

با جداسازی معادله دیفرانسیل های بالا، مدهای تغییر شکل به فرم (12) نوشته می شوند.

$$\Delta^4 R - \lambda^4 R = 0 \quad (12)$$

این معادله فقط دارای دو پاسخ است که در  $r = 0$  مقدار معین دارند. با استفاده از این حقیقت که مسئله دارای تقارن محوری است، پاسخ به صورت (13) نوشته می شود.

$$R(r) = \alpha_1 J_0(\lambda r) + \alpha_2 I_0(\lambda r) \quad (13)$$

که  $J_0$  و  $I_0$  به ترتیب تابع بسل از مرتبه صفر و تابع بهینه بسل از مرتبه متناظر است.

$$J_0(i\lambda r) = I_0(\lambda r) \quad (14)$$

شرایط مرزی در انتهای گیردار عبارت اند از:

$$R(a) = 0$$

$$\frac{dR(a)}{dr} = 0 \quad (15)$$

$2a$  فطر دهانه ی قالب است بنابراین:

$$\alpha_1 J_0(\lambda a) + \alpha_2 I_0(\lambda a) = 0$$

$$-\alpha_1 \lambda J_1(\lambda a) + \alpha_2 \lambda I_1(\lambda a) = 0 \quad (16)$$

که  $J_1$  و  $I_1$  به ترتیب تابع بسل مرتبه اول و تابع بهینه بسل مرتبه اول است. برای پاسخ های غیر صفر برای  $\alpha_1$  و  $\alpha_2$  لازم است که دترمینان ضرایب برابر صفر باشد.

$$\begin{vmatrix} J_0(\lambda a) & I_0(\lambda a) \\ -J_1(\lambda a) & I_1(\lambda a) \end{vmatrix} = 0 \quad (17)$$

از بسط دترمینان معادله (17) حاصل می شود.

$$J_0(\lambda a)I_1(\lambda a) = -J_1(\lambda a)I_0(\lambda a) \quad (18)$$

پاسخ های  $\lambda_n$  از این معادله عبارت اند از

میانمی باقی می ماند. این فرض منجر به صرف نظر کردن از  $\epsilon_{yz}$  و  $\epsilon_{xz}$  بوده که جهت ضخامت ورق است. 3- خیز سطح میانمی در مقایسه با ضخامت ورق کوچک است. بنابراین شیب سطح خیزدار بسیار کوچک و مقدار مجذور شیب در مقایسه با واحد قابل صرف نظر است. 4- کرنش نرمال در جهت ضخامت قابل صرف نظر است. بنابراین تنش نرمال  $\sigma_{zz}$  در مقایسه با دیگر اجزای تنش ناچیز است. رابطه کرنش کل ورق دایروی را می توان به صورت رابطه ی (1) بیان نمود [14,13].

$$U_s = \frac{D}{2} \iint_A \left( \frac{\partial^2 w}{\partial r^2} + \frac{1}{r} \frac{\partial w}{\partial r} + \frac{1}{r^2} \frac{\partial^2 w}{\partial \theta^2} \right)^2 - 2(1-\nu) \left\{ \frac{\partial^2 w}{\partial r^2} \left( \frac{1}{r} \frac{\partial w}{\partial r} + \frac{1}{r^2} \frac{\partial^2 w}{\partial \theta^2} \right) - \left[ \frac{\partial}{\partial r} \left( \frac{1}{r} \frac{\partial w}{\partial \theta} \right) \right]^2 \right\} r dr d\theta \quad (1)$$

در رابطه ی (1)  $U_s$  نشان دهنده ی انرژی پتانسیل ورق و  $D$  سفتی خمشی ورق است. همچنین هرگاه از اثر اینرسی دورانی صرف نظر کرده و حرکت ورق فقط به صورت عرضی فرض شود، انرژی جنبشی ورق به صورت رابطه ی (2) قابل بیان است.

$$K_t = \frac{\rho h}{2} \iint_A \left( \frac{\partial w}{\partial t} \right)^2 r dr d\theta \quad (2)$$

با در نظر گرفتن بار عرضی به صورت  $f(r, t)$  اعمال شده بر ورق، کار غیرپایستار انجام شده روی ورق توسط بار خارجی به فرم رابطه ی (3) نوشته می شود.

$$W_{nc} = \iint_A f(r, t) \cdot w \cdot r dr d\theta \quad (3)$$

در ادامه با اعمال اصل هامیلتون طبق رابطه ی (4)،

$$\delta \left( \int_{t_0}^{t_1} (K_t - U_s + W_{nc}) dt \right) = 0 \quad (4)$$

و با قراردادن انرژی های جنبشی، پتانسیل و کار نیروی خارجی، روابط (1) تا (3)، در رابطه ی (4) معادله ی حرکت ورق به فرم رابطه ی (5) استخراج می شود.

$$D\Delta^4 w = q - \rho_p h \frac{\partial^2 w}{\partial t^2} \quad (5)$$

#### 3- تعیین تابع فشار ناشی از انفجار

معادله ی فشار کل  $P(t)$ ، ناشی از موج انفجار را می توان از به صورت رابطه ی (6) تعیین نمود [15].

$$P(t) = 2P_f \cdot e^{-\frac{t}{\theta}} - \rho_0 C_0 \frac{du}{dt} \quad (6)$$

در معادله ی (6)،  $\rho_0$  چگالی سیال و  $C_0$  سرعت صوت در سیال،  $P_f$  بیانگر فشار ماکزیمم و  $\theta$  نیز معرف ثابت میرایی است. معادله ی (6) تا هنگامی که  $P(t)$  صفر شود معتبر است برای تمام زمان های بزرگ تر از لحظه ی آغاز کاویتاسیون مقدار  $P(t)$  برابر با صفر فرض می شود. مطالعات آزمایشگاهی نشان می دهد که روابط مربوط به فشار ماکزیمم و ثابت زمانی میرایی را با معادلات تجربی (7) و (8) می توان نشان داد [15].

$$P_f = A \left( \frac{W^{\frac{1}{3}}}{R} \right)^\alpha \quad (7)$$

$$\theta = B \left( W^{\frac{1}{3}} \right) \left( \frac{W^{\frac{1}{3}}}{R} \right)^\beta \quad (8)$$

در روابط (7) و (8)  $W$  معرف وزن خرج انفجاری و  $R$  بیان کننده ی فاصله از

$$Q_n(t) = \int_0^a 2P_m e^{-\frac{t}{\theta}} \cdot r \cdot R_n dr = Q_{on} e^{-\frac{t}{\theta}} \quad (28)$$

$$Q_{on} = \frac{4aP_m}{\lambda_n} \cdot J_1(\lambda_n a) \quad (29)$$

$$M_n = \int_0^a \rho_p h \cdot r \cdot R_n^2 dr = \rho_p h a^2 \cdot J_0^2(\lambda_n a) \quad (30)$$

اگر جایگزینی زیر صورت گیرد.

$$\frac{\rho_0 C_0}{\rho_p h} = 2\xi_n \omega_n \quad (31)$$

$$\omega_n^2 = \frac{D \lambda_n^4}{\rho_p h} \quad (32)$$

$$\xi_n = \frac{\rho_0 C_0}{2\rho_p h \omega_n} \quad (33)$$

در این صورت رابطه‌ی (30) برای معادله دیفرانسیل استخراج می‌شود.

$$\ddot{A}_n + 2\xi_n \omega_n \dot{A}_n + \omega_n^2 A_n = \frac{Q_n(t)}{M_n} \quad (34)$$

پاسخ معادله دیفرانسیل (34) که یک معادله دیفرانسیل خطی از مرتبه دوم است به شیوه‌های استاندارد قابل استخراج است.

$$A_n(t) = C_n e^{-\frac{t}{\theta}} + e^{-\xi_n \omega_n t} [a_n \cosh \Omega_n t + b_n \sinh \Omega_n t] \quad (35)$$

که در رابطه‌ی (35)  $\Omega_n$  و  $C_n$  به صورت روابط (36) و (37) بیان می‌شود.

$$\Omega_n = \omega_n \sqrt{\xi_n^2 - 1} \quad (36)$$

$$C_n = \frac{Q_{on} \theta^2}{M_n [1 - 2\xi_n \omega_n \theta + \omega_n^2 \theta^2]} \quad (37)$$

با اعمال شرایط اولیه برای ورق که در زمان  $t = 0$  در حال سکون است به فرم رابطه‌ی (38):

$$\begin{aligned} t = 0, \quad A_n(t) &= 0 \\ t = 0, \quad \dot{A}_n(t) &= 0 \end{aligned} \quad (38)$$

روابط (39) و (40) برای محاسبه ضرایب مجهول حاصل می‌شود. از شرط اول رابطه‌ی (39) و از شرط دوم روابط (40) به دست می‌آید.

$$\begin{aligned} 0 &= C_n + a_n \\ A_n &= C_n [e^{-\frac{t}{\theta}} - e^{-\xi_n \omega_n t} \cosh \Omega_n t] + b_n e^{-\xi_n \omega_n t} \sinh \Omega_n t \\ \dot{A}_n &= C_n [\xi_n \omega_n e^{-\xi_n \omega_n t} \cosh \Omega_n t - \Omega_n e^{-\xi_n \omega_n t} \sinh \Omega_n t] \\ &\quad - C_n \frac{e^{-\frac{t}{\theta}}}{\theta} + b_n [\Omega_n e^{-\xi_n \omega_n t} \cosh \Omega_n t - \xi_n \omega_n e^{-\xi_n \omega_n t} \\ &\quad \sinh \Omega_n t] \end{aligned} \quad (39)$$

$$\begin{aligned} 0 &= C_n [-1/\theta + \xi_n \omega_n] + b_n \Omega_n \\ b_n &= \frac{C_n}{\Omega_n} [1/\theta - \xi_n \omega_n] \end{aligned} \quad (40)$$

با جایگزین نمودن برای  $C_n$  نتیجه می‌شود.

$$\begin{aligned} A_n(t) &= \left[ \frac{4a\theta^2 P_m \cdot J_1(\lambda_n a)}{\lambda_n M_n \{1 - 2\xi_n \omega_n \theta + \omega_n^2 \theta^2\}} \right] \times [e^{-\frac{t}{\theta}} - \\ &\quad e^{-\xi_n \omega_n t} \cosh \Omega_n t] + \frac{e^{-\xi_n \omega_n t}}{\theta \Omega_n} (1 - \xi_n \omega_n \theta) \sinh \Omega_n t \end{aligned} \quad (41)$$

با جایگذاری نمودن  $M_n = \rho_p h a^2 J_0^2(\lambda_n a)$ ، پاسخ  $w(r, t)$  به فرم معادله-ی (42) بیان می‌شود.

$$w(r, t) = \sum_{n=0}^{\infty} \left( \frac{4\theta^2 P_m J_1(\lambda_n a)}{\lambda_n \rho_p h a J_0^2(\lambda_n a) \{1 - 2\xi_n \omega_n \theta + \omega_n^2 \theta^2\}} \right) [e^{-\frac{t}{\theta}} - e^{-\xi_n \omega_n t} \cosh \Omega_n t] \quad (42)$$

$$\begin{aligned} \lambda_n &= n \frac{\pi}{a}, \quad n = 0, 1, 2, \dots, \infty \\ \alpha_2 &= \frac{-J_0(\lambda_n a)}{I_0(\lambda_n a)} \alpha_1 \end{aligned} \quad (19)$$

بنابراین مدهای تغییر شکل با رابطه‌ی (20) بیان می‌شود.

$$R_n(r) = J_0(\lambda_n r) - \frac{J_0(\lambda_n a)}{I_0(\lambda_n a)} I_0(\lambda_n r) \quad (20)$$

که برای  $\alpha_1$  مقدار دلخواه واحد در نظر گرفته شده است. معادله دیفرانسیل کامل برای حرکت ورق دایروی عبارت است از

$$\Delta^4 w = \frac{2P_m \cdot e^{-\frac{t}{\theta}}}{D} - \frac{\rho_0 C_0}{D} \frac{\partial w}{\partial t} - \frac{\rho_p h}{D} \frac{\partial^2 w}{\partial t^2} \quad (21)$$

#### 4-2-4- حل ناهمگن ورق دایروی

به منظور حل معادله‌ی ناهمگن ورق دایروی تحت بار انفجاری که در رابطه‌ی (21) بیان شده است با استفاده از روش جداسازی متغیرها حلی به صورت رابطه (22) در نظر می‌شود.

$$w(r, t) = \sum_{n=0}^{\infty} A_n(t) \cdot R_n(r) \quad (22)$$

که در معادله‌ی (22)،  $R_n(r)$  توابع یا مدهای تغییرشکل است که از حل معادله‌ی همگن به دست می‌آید و تابع  $A_n(t)$  باید با جایگزین نمودن معادله (22) در معادله حاکم بر حرکت ورق ارائه شده در معادله (9) تعیین شود.

$$\begin{aligned} \sum_{n=0}^{\infty} A_n(t) \cdot \Delta^4 R_n(r) + \frac{\rho_0 C_0}{D} \sum_{n=0}^{\infty} \dot{A}_n(t) \cdot R_n(r) + \frac{\rho_p h}{D} \times \\ \sum_{n=0}^{\infty} \ddot{A}_n(t) \cdot R_n(r) = \frac{2P_m \cdot e^{-\frac{t}{\theta}}}{D} \end{aligned} \quad (23)$$

که در معادله‌ی (23)

$$\begin{aligned} \frac{d}{dt} A_n(t) &= \dot{A}_n(t) \\ \frac{d^2}{dt^2} A_n(t) &= \ddot{A}_n(t) \end{aligned} \quad (24)$$

با جایگذاری  $\Delta^4 R = \lambda^4 R$  در معادله‌ی (23)، معادله (25) برای استخراج  $A_n(t)$  حاصل می‌شود.

$$\begin{aligned} \sum_{n=0}^{\infty} A_n(t) \lambda_n^4 R_n + \sum_{n=0}^{\infty} \frac{\rho_0 C_0}{D} \dot{A}_n(t) R_n + \sum_{n=0}^{\infty} \frac{\rho_p h}{D} \ddot{A}_n(t) R_n \\ = \frac{2P_m \cdot e^{-\frac{t}{\theta}}}{D} \end{aligned} \quad (25)$$

می‌توان ثابت نمود که:

$$\begin{aligned} \int_0^a r \cdot R_n \cdot R_k dr = 0, \quad n \neq k = a^2 J_0^2(\lambda_n a) \\ \int_0^a r \cdot R_n dr = \frac{2a}{\lambda_n} J_1(\lambda_n a), \quad n = k \end{aligned} \quad (26)$$

هرگاه طرفین معادله دیفرانسیل را در  $r \cdot R_k$  ضرب و در بازه  $[0, a]$  انتگرال-گیری شود، نتیجه (27) حاصل می‌شود.

$$M_n \ddot{A}_n(t) + \frac{\rho_0 C_0}{\rho_p h} M_n \dot{A}_n(t) + \frac{D \lambda_n^4}{\rho_p h} M_n A_n(t) = Q_n(t) \quad (27)$$

که

1-2- استفاده از روش جداسازی متغیرها با در نظر گرفتن

$$w(r, t) = \sum_{n=0}^{\infty} A_n(t) \cdot R_n(r)$$

2-2- اعمال  $w(r, t)$  در معادله ارتعاش اجباری ورق

3-2- جداسازی بر اساس متغیرهای زمان و جابجایی

4-2- استخراج پاسخ زمانی  $A_n(t)$

5-2- استفاده از تعامد مودها و ضرب طرفین رابطه بر

اساس متغیر جابجایی در  $r \cdot R_k$

6-2- انتگرال گیری در بازه مکانی  $[0, a]$

7-2- استفاده از پارامترهای استاندارد به منظور بازنویسی

راحت تر روابط استخراج شده

8-2- جایگزینی روابط استخراج شده در میدان جابجایی

$$w(r, t)$$

9-2- اعمال مشتق زمانی برای محاسبه میدان سرعت ورق

3- حل گام به گام  $P(t) = 2P_f \cdot e^{-\frac{t}{\theta}} - \rho_0 C_0 \frac{du}{dt} = 0$  برای استخراج

زمان کاویتاسیون

4- محاسبه میدان تنش بر اساس قانون هوک و مقایسه گام به گام با

سطح تسلیم وون میزز برای استخراج زمان تسلیم

### 5- تحلیل نتایج

ماده‌ی منفجره مورد استفاده در این بررسی پنتولیت بوده که مشخصات انفجاری آن شامل پارامترهای  $\beta, \alpha, B, A$  در جدول 1 آورده شده است [15].

یکی از موارد بسیار مهم در بررسی رفتار تغییر شکل ورق تحت بار انفجاری چگونگی تغییرات رفتار فشار ناشی از پارامترهای خرج انفجاری شامل وزن و محل استقرار مورد استفاده است. جدول 2 ویژگی‌های مکانیکی ورق دایروی به ابعاد  $0.3m \times 0.003m$  از جنس‌های فولاد، مس و آلومینیم را نشان می‌دهد. هرگاه ورق مستقر در زیر آب تحت بارگذاری انفجاری قرار گیرد یکی از پدیده‌های بسیار مهم، ایجاد پدیده کاویتاسیون است. در زمان بروز کاویتاسیون فشار کل وارد بر ورق صفر شده و معادلات حاکم بر آن در زمان قبل و بعد کاویتاسیون متفاوت می‌باشد.

به منظور صحنه‌گذاری بر روش تحلیلی ارائه شده در این مقاله ابتدا میدان سرعت ایجاد شده توسط بار انفجاری در مرجع [6] با مشخصات زیر بر روی ورق صورت گرفته است.

جدول 1 پارامترهای معادلات موج انفجاری پنتولیت

ماده منفجره	A	B	$\alpha$	$\beta$
پنتولیت	$2/25 \times 10^{-4}$	$6 \times 10^{-5}$	1/13	-0/18

جدول 2 خواص مکانیکی ورق دایروی

جنس ورق	فولاد	مس	آلومینیم
مدول الاستیسیته (گیگاپاسکال)	210	130	70
ضریب پواسون	0/3	0/34	0/32
چگالی (کیلوگرم بر مترمکعب)	7850	8960	2700
تنش تسلیم (مگاپاسکال)	300	220	105

$$P_m = 52.16 \left( \frac{W^{1/3}}{S} \right)^{1.13} \quad (47)$$

$$\begin{aligned} & + \frac{\left( \frac{e^{-\xi_n \omega_n t}}{\theta \Omega_n} \right) (1 - \xi_n \omega_n \theta) \sinh \Omega_n t}{\lambda_n \rho_p h a J_0^2(\lambda_n a) \{1 - 2\xi_n \omega_n \theta + \omega_n^2 \theta^2\}} \\ & \times \left[ J_0(\lambda_n r) - \frac{J_0(\lambda_n a)}{I_0(\lambda_n a)} I_0(\lambda_n r) \right] \end{aligned} \quad (42)$$

همچنین سرعت ورق نیز با اعمال مشتق زمانی نسبت به جابجایی حاصل می‌شود.

$$\begin{aligned} \dot{w}(r, t) = & \sum_{n=0}^{\infty} \frac{4\theta^2 P_m \cdot J_1(\lambda_n a) \left[ J_0(\lambda_n r) - \frac{I_0(\lambda_n a)}{I_0(\lambda_n a)} I_0(\lambda_n r) \right]}{\lambda_n \rho_p h a J_0^2(\lambda_n a) [1 - 2\xi_n \omega_n \theta + \omega_n^2 \theta^2]} \\ & \times [-e^{-\xi_n \omega_n t} \sinh \Omega_n t \left\{ \Omega_n + \frac{\xi_n \omega_n (1 - \xi_n \omega_n \theta)}{\theta \Omega_n} \right\}] \\ & + e^{-\xi_n \omega_n t} \cosh \Omega_n t \left\{ \xi_n \omega_n + \frac{1}{\theta} (1 - \xi_n \omega_n \theta) \right\} - \frac{1}{\theta} e^{-\frac{t}{\theta}} \end{aligned} \quad (43)$$

هرگاه کاویتاسیون در ورق رخ دهد فشار کل وارد بر ورق صفر شده و معادله حاکم بر ورق به صورت زیر تقلیل می‌یابد.

$$D\Delta^4 w(r, t) + \rho_p h \frac{\partial^2 w(r, t)}{\partial t^2} = 0 \quad (44)$$

این معادله دارای جوابی به صورت (45) می‌باشد.

$$\begin{aligned} w(r, t) = & \sum_{n=0}^{\infty} (X_n \sin(\lambda_n t) + Y_n \cos(\lambda_n t)) \\ & \times \left[ J_0(\lambda_n r) - \frac{J_0(\lambda_n a)}{I_0(\lambda_n a)} I_0(\lambda_n r) \right] \end{aligned} \quad (45)$$

که در رابطه‌ی (45) ثابت با توجه به مقدار جابجایی و سرعت در زمان کاویتاسیون،  $T_C$ ، محاسبه می‌شوند. همچنین با توجه به اینکه در محدوده پدیده کاویتاسیون بر روی ورق دایروی مستقر در زیر آب تحت بار انفجاری در محدوده الاستیک یا پلاستیک رخ دهد، با زمان کاویتاسیون در این دو محدوده به صورت  $T_{CE}$  و  $T_{CP}$  جایگزین می‌شود. میدان سرعت با اعمال مشتق زمانی نسبت به میدان جابجایی بیان شده در رابطه (45) به صورت (46) استخراج می‌شود.

$$\begin{aligned} \dot{w}(r, t) = & \sum_{n=0}^{\infty} (X_n \lambda_n \cos(\lambda_n t) - Y_n \lambda_n \sin(\lambda_n t)) \\ & \times \left[ J_0(\lambda_n r) - \frac{J_0(\lambda_n a)}{I_0(\lambda_n a)} I_0(\lambda_n r) \right] \end{aligned} \quad (46)$$

بنابراین می‌توان به طور خلاصه گام‌های حل انجام شده برای استخراج روابط جابجایی، سرعت، میدان تنش و زمان‌های کاویتاسیون و تسلیم برای یک ورق دایروی مستقر در زیر آب را به صورت گام به گام بیان نمود.

1- حل معادله همگن ورق ( $D\Delta^4 w + \rho_0 C_0 \frac{\partial w}{\partial t} + \rho_p h \frac{\partial^2 w}{\partial t^2} = 0$ )

1-1- روش جداسازی متغیرها  $w(r, t) = T(t)R(r)$

2-1- اعمال  $w(r, t)$  در معادله همگن ورق

3-1- جداسازی معادلات متغیرهای  $T(t)$  و  $R(r)$

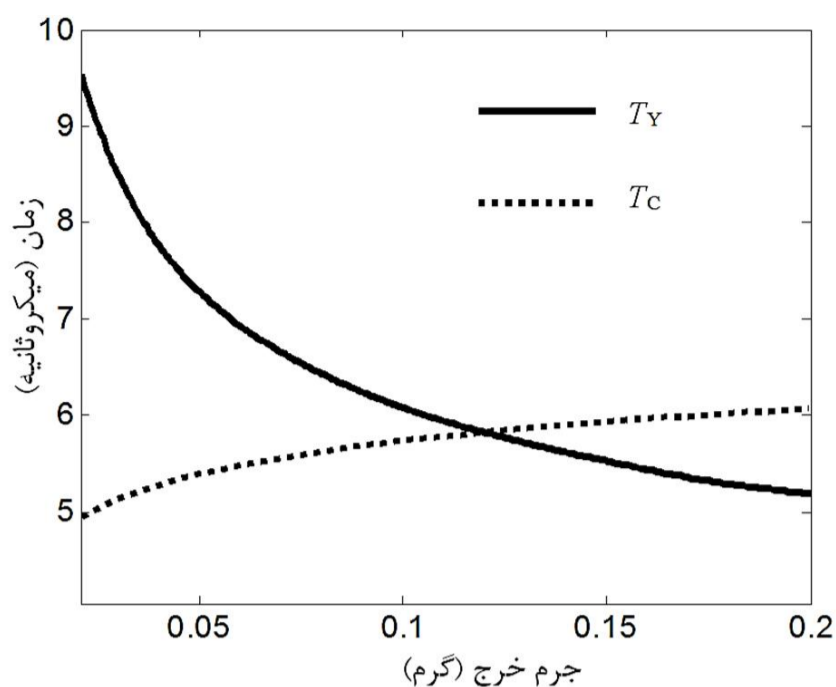
4-1- حل معادله دیفرانسیل حاکم بر اساس  $R(r)$

5-1- استخراج توابع شکل و فرکانس‌های ورق در حالت

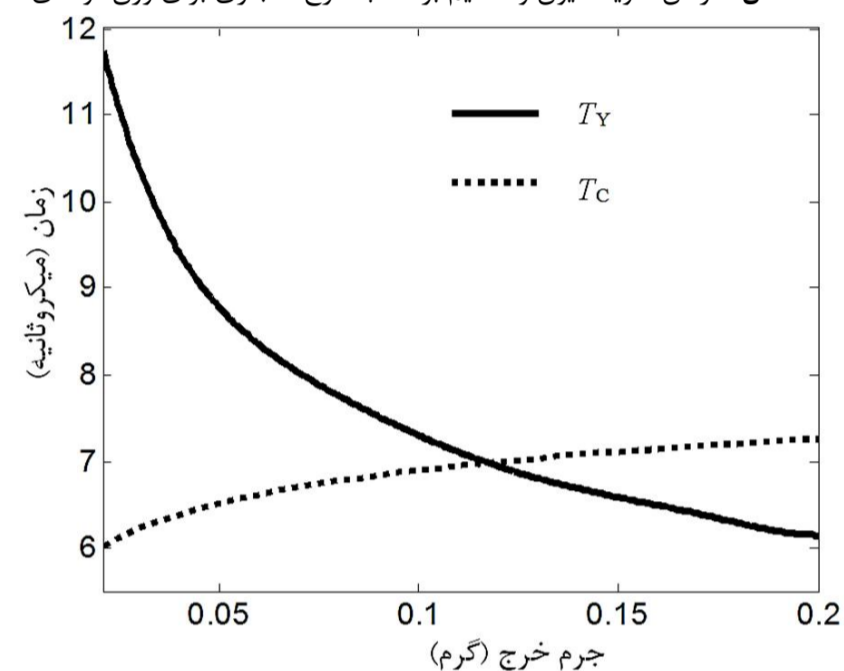
ارتعاش آزاد

2- حل معادله ناهمگن ورق

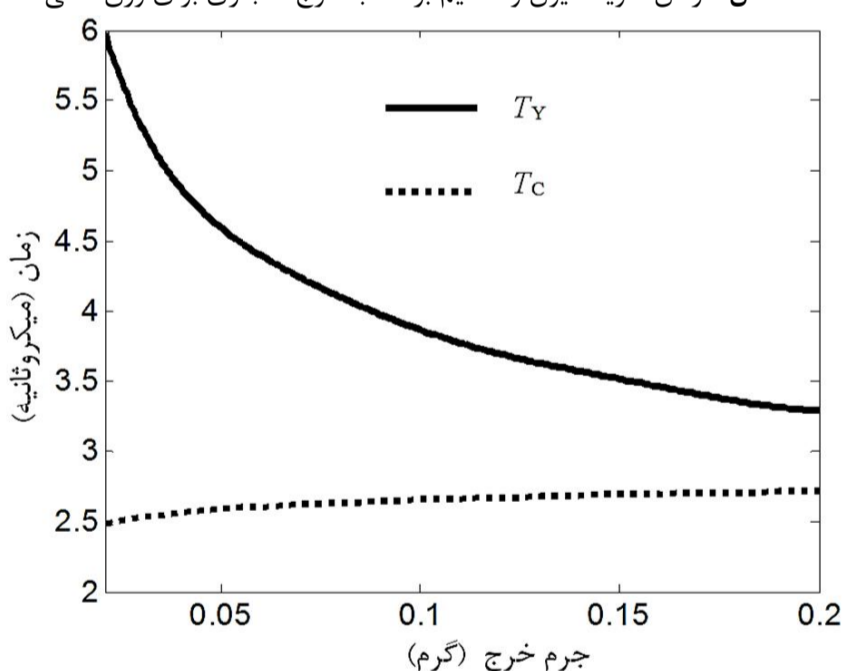
$$(D\Delta^4 w = 2P_m \cdot e^{-\frac{t}{\theta}} - \rho_0 C_0 \frac{\partial w}{\partial t} - \rho_p h \frac{\partial^2 w}{\partial t^2})$$



شکل 2 زمان کاویتاسیون و تسلیم بر حسب خرج انفجاری برای ورق فولادی



شکل 3 زمان کاویتاسیون و تسلیم بر حسب خرج انفجاری برای ورق مسی

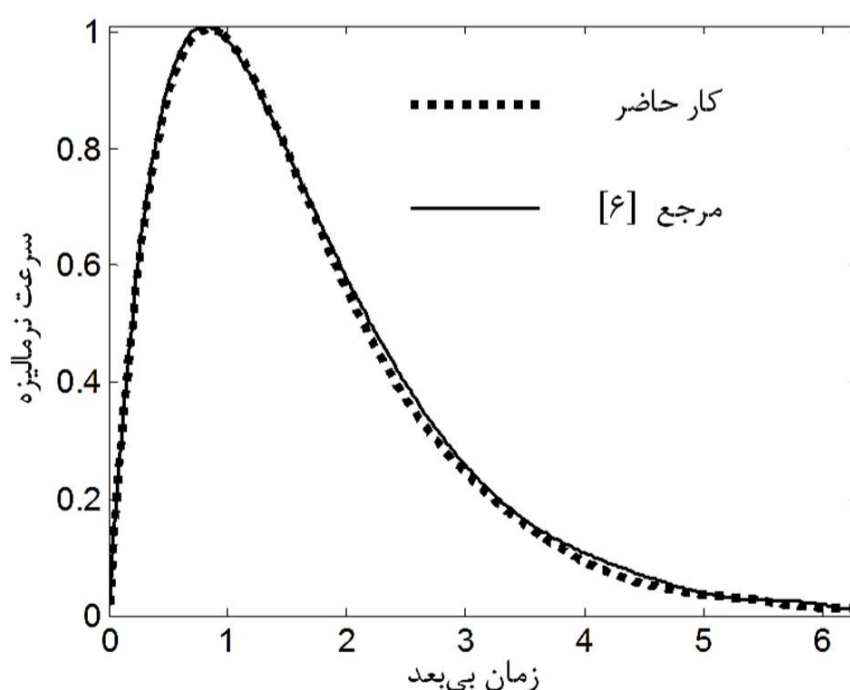


شکل 4 زمان کاویتاسیون و تسلیم بر حسب خرج انفجاری برای ورق آلومینیومی شکل‌های 5 و 6 تاریخچه زمانی جابجایی و سرعت مرکز ورق را برای دو حالت مختلف زمان بروز کاویتاسیون در دو رژیم الاستیک و پلاستیک نشان می‌دهند. به عبارت دیگر در حالت اول با انتخاب 100 گرم برای خرج انفجاری با محل استقرار 100 میلی‌متر زمان کاویتاسیون قبل از زمان تسلیم و در حالت دوم با انتخاب 160 گرم برای خرج انفجاری با محل استقرار 100 میلی‌متر زمان کاویتاسیون بعد از زمان تسلیم و در محدوده پلاستیک رخ می‌دهد. مطابق منحنی‌های ارائه شده در شکل 5 میدان جابجایی مرکز ورق برای حالتی که زمان کاویتاسیون در رژیم پلاستیک رخ می‌دهد سطح

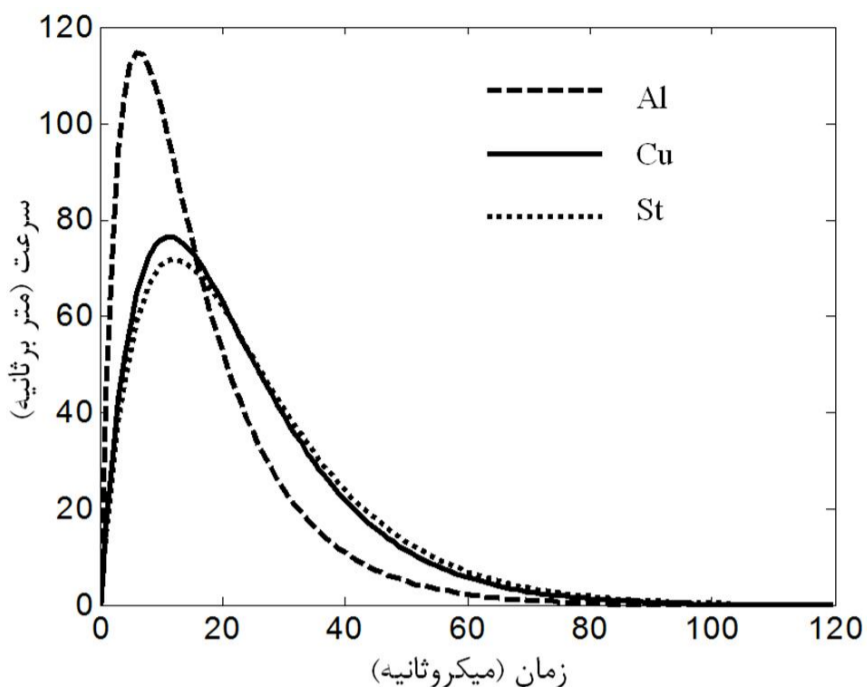
$$\theta = 96.5W^{1/3} \left( \frac{W^{1/3}}{S} \right)^{-0.22} \quad (48)$$

در روابط (47) و (48)  $S$  و  $W$  به ترتیب مقدار جرم خرج انفجاری و فاصله خرج انفجاری تا ورق می‌باشد [6]. شکل 1 مقایسه بین نتایج مرجع [6] و کار تحلیلی حاضر را نشان می‌دهد. به منظور مقایسه تغییرات سرعت نرمالیزه شده را بر حسب زمان بی‌بعد در شکل 1 نشان داده شده است. برای نرمالیزه کردن از پارامترهای مرجع [6] استفاده شده است. نمودارهای شکل 1 نشان می‌دهند که نتایج کار تحلیلی حاضر با مرجع [6] تطابق خوبی را دارد. در این مقایسه جرم خرج انفجاری 100 گرم و محل استقرار 100 میلی‌متر در نظر گرفته شده است. بعد از اعتبارسنجی روش تحلیلی استفاده شده در این مقاله با مرجع [6] نتایج جدید ارائه شده است.

کاویتاسیون ممکن است در بارگذاری انفجاری بر روی ورق مستقر در زیر آب رخ می‌دهد. زمان کاویتاسیون زمانی است که در آن فشار کل وارد به سازه صفر می‌شود. و بعد از این زمان فشار منفی می‌شود. بنابراین فشار منفی بعد از کاویتاسیون رخ داده و با توجه به مقدار کم آن می‌توان از آن صرف‌نظر نمود [6]. بنابراین در این مقاله نیز فرض شده است که بعد از ایجاد کاویتاسیون تا پایان دوره بارگذاری فشار وارد بر سازه صفر است. زمان تسلیم نیز زمانی است که در آن ورق از سطح تسلیم عبور کرده و رفتار آن وارد محدوده پلاستیک می‌شود. در فرایند بارگذاری انفجاری بر روی ورق مستقر در زیر آب دو حالت کلی در مورد زمان کاویتاسیون رخ می‌دهد. این دو حالت مربوط به بروز این پدیده در محدوده الاستیک یا در محدوده پلاستیک می‌باشند. در حالت اول میدان جابجایی و سرعت در مدت زمان بارگذاری به سه قسمت تقسیم می‌شوند. این سه قسمت شامل زمان شروع بارگذاری تا زمان کاویتاسیون الاستیک،  $0 \leq t \leq T_{CE}$ ، زمان کاویتاسیون الاستیک تا زمان تسلیم  $T_{CE} \leq t \leq T_Y$  و زمان تسلیم تا پایان دوره بارگذاری،  $T_{CE} \leq t \leq T$  می‌باشد. در حالتی که زمان کاویتاسیون در محدوده پلاستیک رخ دهد این سه قسمت شامل زمان شروع بارگذاری تا زمان تسلیم،  $0 \leq t \leq T_Y$ ، زمان کاویتاسیون تسلیم تا زمان کاویتاسیون پلاستیک  $T_Y \leq t \leq T_{CP}$  و زمان کاویتاسیون پلاستیک تا پایان دوره بارگذاری،  $T_{CP} \leq t \leq T$  می‌باشند.

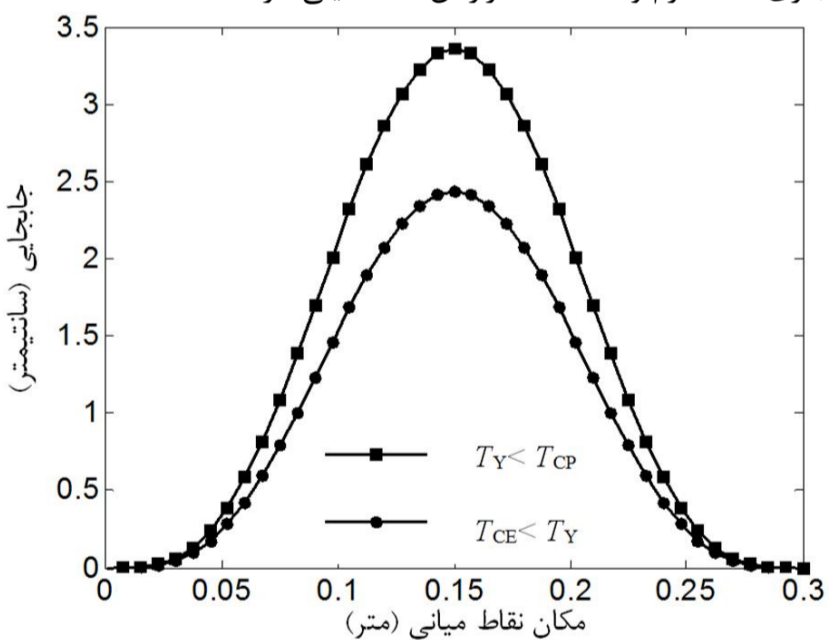


شکل 1 تغییرات سرعت نرمالیزه بر حسب زمان بی‌بعد

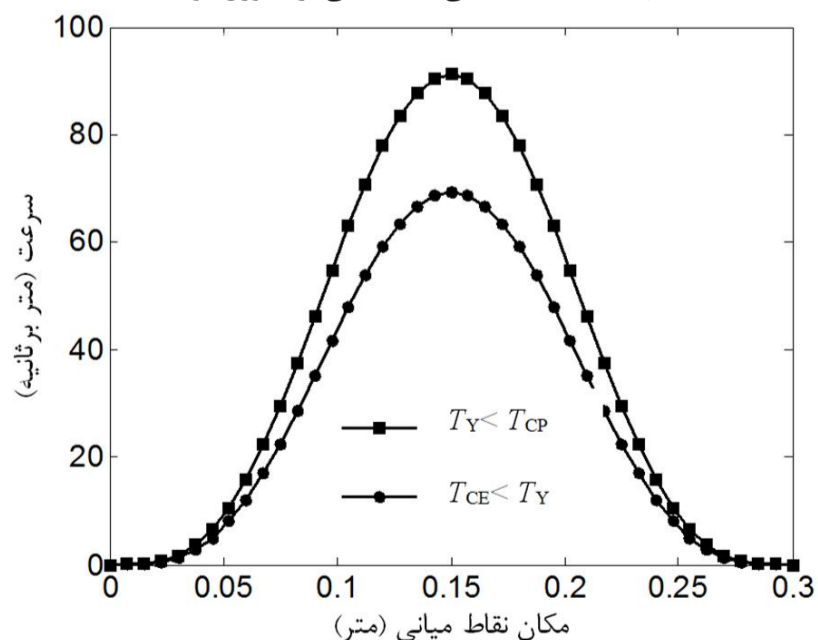


شکل 8 اثر جنس ورق بر سرعت مرکز ورق بر حسب زمان

شکل 9 و 10 بیشینه جابجایی و بیشینه سرعت نقاط قطری ورق دایروی فولادی را برای دو حالت وقوع زمان کاویتاسیون در محدوده الاستیک و پلاستیک را نشان می‌دهند. برای وقوع زمان کاویتاسیون در محدوده الاستیک و زیر زمان تسلیم،  $T_{CE} \leq T$ ، میدان جابجایی و سرعت برای همه نقاط روی قطر پایین‌تر از مقدار آن برای وقوع زمان کاویتاسیون در محدوده پلاستیک و بالای زمان تسلیم،  $T \leq T_{CP}$ ، می‌باشد. برای وقوع زمان کاویتاسیون در محدوده الاستیک مقدار خرج انفجاری 100 گرم و محل استقرار خرج انفجاری 160 گرم و فاصله استقرار آن 100 میلی‌متر است.

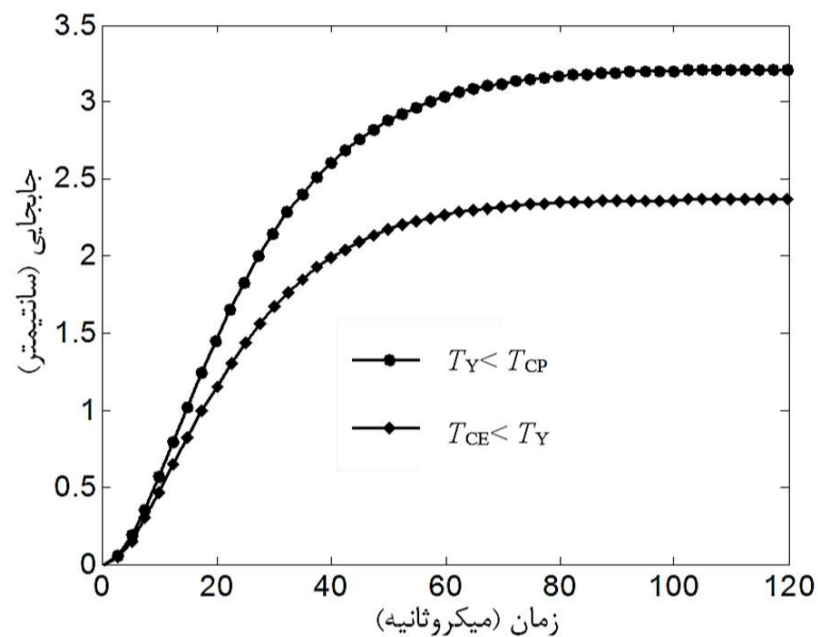


شکل 9 بیشینه جابجایی نقاط میانی برای ورق فولادی

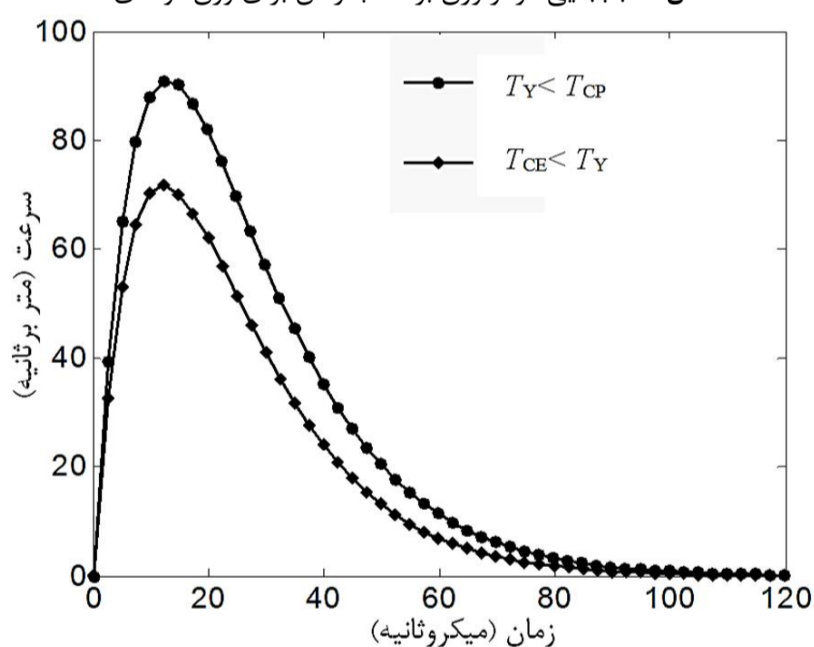


شکل 10 بیشینه سرعت نقاط میانی برای ورق فولادی

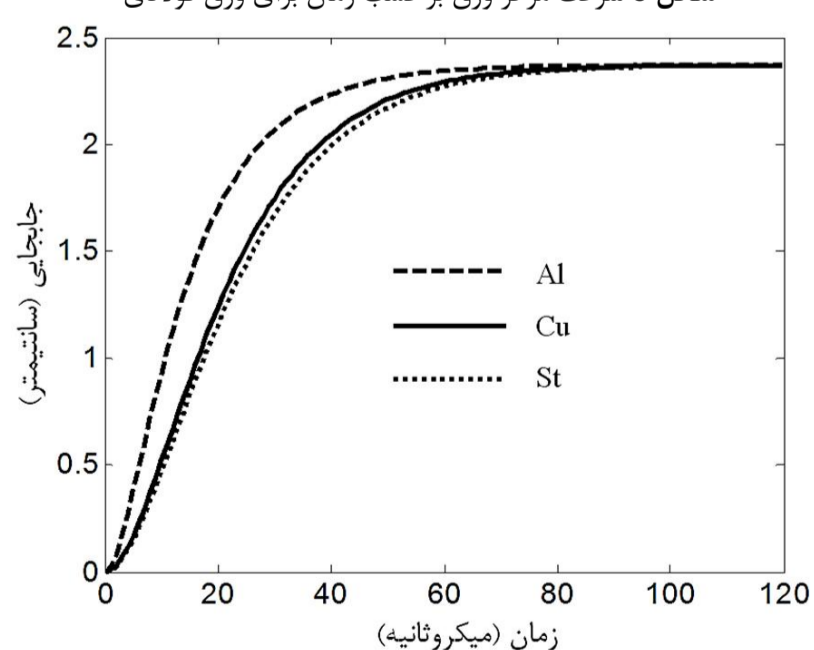
بالتری را نسبت به حالت الاستیک پیش‌بینی می‌کند. همچنین تا زمان 50 میکروثانیه مرکز ورق با شیب زیادی تغییر شکل یافته و سپس با گذشت زمان تغییر شکل تقریباً با گذشت زمان روندی ثابت را خواهد داشت. از روی شکل 5 می‌توان مشاهده نمود که میدان سرعت نیز برای زمان کاویتاسیون در رژیم پلاستیک بالاتر از میدان سرعت برای زمان کاویتاسیون در رژیم الاستیک می‌باشد. همچنین سرعت مرکز ورق در زمانی حدود 12 میکروثانیه بیشترین مقدار خود را تجربه کرده و با گذشت زمان به سمت صفر میل می‌کند. شکل‌های 7 و 8 اثر تغییر جنس ورق بر تاریخچه میدان جابجایی و سرعت مرکز ورق نشان می‌دهند مقدار خرج انفجاری 100 گرم و محل استقرار 100 میلی‌متر انتخاب شده است.



شکل 5 جابجایی مرکز ورق بر حسب زمان برای ورق فولادی



شکل 6 سرعت مرکز ورق بر حسب زمان برای ورق فولادی



شکل 7 اثر جنس ورق بر جابجایی مرکز ورق بر حسب زمان

## 6- نتیجه گیری

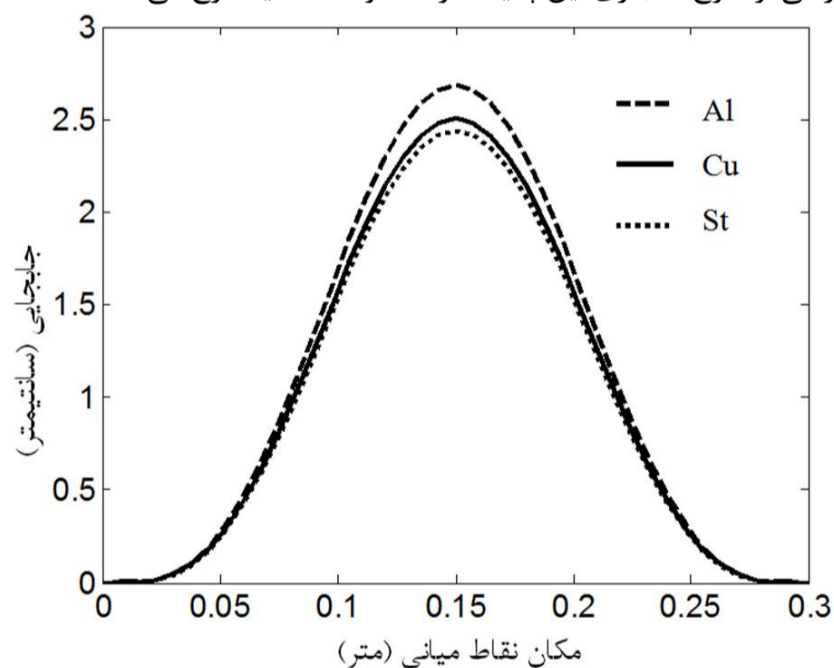
نتایج حاصل از این تحقیق نشان می‌دهد که برای تحلیل رفتار ورق مستقر در زیر آب تحت بار انفجاری باید پدیده کاویتاسیون مورد بررسی قرار گیرد. زیرا در زمان وقوع آن فشار کل ناشی از بار انفجاری صفر شده و از روی جسم حذف می‌شود بنابراین معادلات حاکم بر ورق در بازه‌های زمانی قبل و بعد از کاویتاسیون متفاوت است. دو عامل اصلی مورد بررسی در این تحقیق شامل تأثیر مقدار خرج انفجاری و جنس ورق بر تشکیل کاویتاسیون نشان می‌دهد که با افزایش خرج انفجاری زمان وقوع کاویتاسیون به تأخیر افتاده و زمان تسلیم کاهش می‌یابد. به عبارت دیگر با افزایش خرج انفجاری سطح بارگذاری فشاری افزایش یافته که این باعث ایجاد کاویتاسیون در زمان بیشتری از شروع فرایند تغییر شکل می‌شود. همچنین مقدار با افزایش خرج انفجاری وقوع کاویتاسیون از محدوده الاستیک خارج شده و این پدیده در محدوده پلاستیک رخ می‌دهد. جنس ورق نیز بر ایجاد پدیده کاویتاسیون مؤثر بوده بطوریکه نتایج نشان می‌دهند برای ورق فولادی و مسی برای بازه‌ای از خرج انفجاری کاویتاسیون در محدوده الاستیک و برای خرج انفجاری بیشتر در محدوده پلاستیک رخ می‌دهد ولی برای ورق آلومینیمی همواره در بازه مورد بررسی از خرج انفجاری این پدیده در محدوده الاستیک رخ می‌دهد. میدان جابجایی و سرعت ایجاد شده برای ورق در حالتی که کاویتاسیون در محدوده پلاستیک رخ دهد نسبت به حالت الاستیک آن بالاتر می‌باشد. بنابراین می‌توان دستاوردهای مقاله را به صورت زیر بیان نمود.

- 1- ارائه مدلی تحلیلی از رفتار دینامیکی ورق دایروی تحت بار انفجاری زیر آب به منظور استخراج زمان کاویتاسیون و زمان تسلیم.
- 2- محاسبه زمان تسلیم و مقایسه آن با زمان کاویتاسیون برای تشخیص وقوع کاویتاسیون در محدوده الاستیک یا پلاستیک
- 3- تحلیل میدان جابجایی و سرعت ورق برای زمان‌های مختلف کاویتاسیون در رژیم الاستیک و پلاستیک
- 4- بررسی تغییر جنس ورق بر زمان کاویتاسیون و تسلیم و تاریخچه زمانی جابجایی و سرعت ورق
- 5- محاسبه پروفیل جابجایی نقاط میانی ورق برای زمان‌های مختلف کاویتاسیون در رژیم الاستیک و پلاستیک

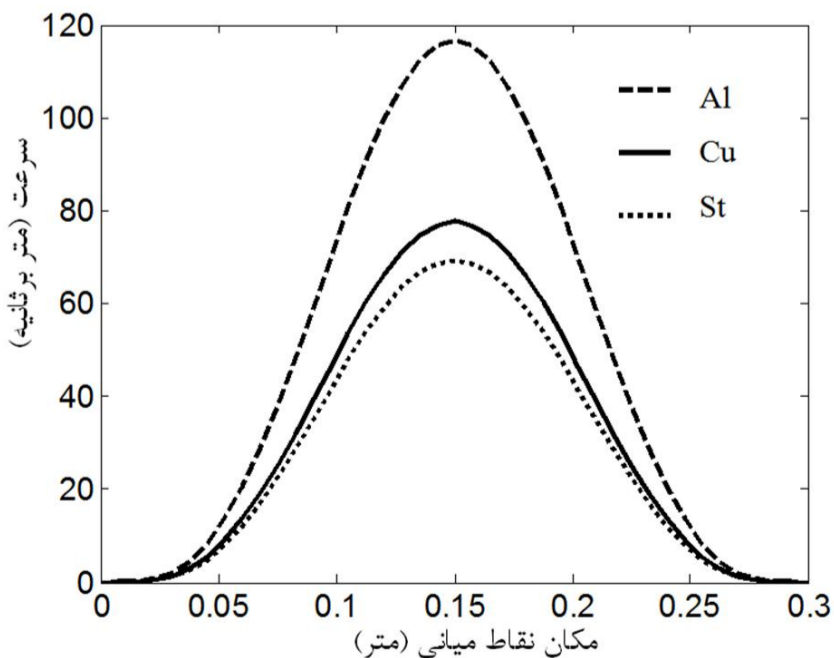
## 7- مراجع

- [1] E. Hudson, A theory of the dynamic plastic deformation of a thin diaphragm, *Journal of Applied Physics*, Vol. 22, No. 1, pp. 1-11, 1951.
- [2] N. Jones, T. Uran, S.A. Tekin, The dynamic plastic behavior of fully clamped rectangular plates, *International Journal of Solids Structure*, Vol. 6, No. 12, pp. 1499-1512, 1970.
- [3] T. Wierzbicki, A.L. Florence, A theoretical and experimental investigation of impulsively loaded clamped circular viscoplastic plates, *International Journal of Solids Structure*, Vol. 6, No. 5, pp. 550-580, 1970.
- [4] R.C. Batra, R.N. Dubey, Impulsively loaded circular plates, *International Journal of Solids Structure*, Vol. 7, No. 8, pp. 965-978, 1971.
- [5] G. N. Nurick, J. B. Martin, Deformation of thin plates subjected to impulsive loading a review part I, *International Journal of Impact Engineering*, Vol. 8, No. 2, pp. 159-170, 1989.
- [6] R. Rajendran, Numerical simulation of response of plane plates subjected to uniform primary shock loading of non-contact underwater explosion, *Materials and Design*, Vol. 30, No. 4, pp. 1000-1007, 2009.
- [7] H. Gharababaei, A. Darvizeh, N. Nariman-zadeh, Investigation into the response of steel, copper and aluminum plates subjected to shock loading, *Journal of Engineering Manufacture*, Vol. 39, No. 4, pp.507-526, 2010.
- [8] H.Gharababaei, A. Darvizeh, Analytical study of plastic deformation of clamped circular plates subjected to impulsive loading, *International Journal of Mechanics of Materials and Structures*, Vol. 7, No. 4, pp. 309-322, 2012.
- [9] N. Jones, Dynamic inelastic response of strain rate sensitive ductile plate due to large impact, dynamic pressure and explosive loading, *International Journal of Impact Engineering*, Vol. 74, pp. 3-15, 2014.

تأثیر جنس ورق بر بیشینه مقدار جابجایی و سرعت نقاط قطری ورق شکل- های 11 و 12 مشاهده می‌شود. مطابق این نمودارها ورق از جنس آلومینیم در شرایط یکسان بارگذاری بیشترین مقدار جابجایی و سرعت را دارا بوده و ورق فولادی کمترین مقدار را نسبت به ورق آلومینیمی و مسی پیش‌بینی می‌کند. برای وقوع کاویتاسیون در محدوده الاستیک مقدار خرج انفجاری 100 گرم و محل استقرار خرج انفجاری تا ورق دایروی مستقر در زیر آب 100 میلی‌متر در نظر گرفته شده است. به عبارت دیگر با توجه به ویژگی‌های مکانیکی ورق از جنس فولاد، مس و آلومینیم می‌توان از روی این نمودارها نتیجه گرفت که در شرایط یکسان بارگذاری انفجاری برای ورق دایروی مستقر در زیر آب ورق فولادی بیشترین مقاومت را در برابر تغییر شکل از خود نشان داده و ورق از جنس مس و آلومینیم به ترتیب مقاومت کمتری را در برابر تغییر شکل از خود نشان می‌دهند. همچنین منحنی‌های سرعت برای ورق از جنس فولاد، مس و آلومینیم که در شکل 12 نشان داده شده است بیان می‌کنند که با توجه به مقاومت کمتر ورق آلومینیمی در برابر تغییر شکل ناشی از انفجار نقاط قرار گرفته در روی قطر اصلی میدان سرعت بیشتری را نسبت به ورق از جنس فولاد و مس دارا هستند. مطابق نمودارهای شکل‌های 11 و 12 می‌توان فهمید که جنس ورق تأثیر زیادی بر زمان کاویتاسیون دارد. بطوریکه برای ورق فولادی و مسی در بازه‌ای از خرج انفجاری کاویتاسیون در محدوده الاستیک و برای خرج انفجاری بیشتر در محدوده پلاستیک رخ می‌دهد ولی برای ورق آلومینیمی همواره در بازه مورد بررسی از خرج انفجاری این پدیده در محدوده الاستیک رخ می‌دهد.



شکل 11 اثر جنس بر بیشینه جابجایی نقاط میانی ورق



شکل 12 اثر جنس بر بیشینه سرعت نقاط میانی ورق



- [13] W. Leissa, *Vibration of plates*, pp. 9-30, Ohio State university Colombos: Ohio, 1969.
- [14] N. Jones, *Structural impact*, pp. 432-445, Cambridge university press: United Kingdom, 1989.
- [15] J. S. Smaill, *pressure instrumentation in explosive forming: the non-linear transient displacement of a circular plate*, PhD Thesis, University of Canterbury, New Zealand, 1984.
- [10] N. Jones, Pseudo-shakedown phenomenon for the mass impact loading of plating, *International Journal of Impact Engineering*, Vol. 65, pp. 33-39, 2014.
- [11] H. Ramezannezhad, M. Darvizeh, A. Darvizeh, R. Ansari, Derivation of cavitation time of underwater rectangular plate subjected to impulsive dynamic loading, *Modares Mechanical Engineering*, Vol. 15, No. 2, pp. 253-260, 2015. (In Persian)
- [12] M. Goudarzi, J. Zamani, Experimental and numerical investigation of the maximum deflection of circular aluminum plate subjected to free air explosion, *Modares Mechanical Engineering*, Vol. 15, No. 1, pp. 219-226, 2015. (In Persian)